

Jacek Misiurewicz  
Krzysztof Kulpa  
Piotr Samczyński  
Mateusz Malanowski  
Piotr Krysik  
Łukasz Maślikowski  
Damian Gromek  
Artur Gromek  
Marcin K. Bączyk

**Zakład Teorii Obwodów i Sygnałów**  
**Instytut Systemów Elektronicznych**  
**Wydział Elektroniki i Technik Informatycznych**  
**Politechnika Warszawska**

## Laboratorium Cyfrowego Przetwarzania Sygnałów

Wersja do wydruku - bez części teoretycznej



## DTF – rozróżnialność, uzupełnianie zerami, okna

Część teoretyczną w tej wersji opuszczono.

### 2.2. Zadania do pracy własnej studenta

Podobne zadania mogą znaleźć się na wejściówce. Nie dotyczy to zadań oznaczonych tu jako „trudne”.

- 1) Jak wygląda zerowa funkcja bazowa ( $\phi_0[n]$ ) dla 8-punktowej DTF?
- 2) Naszkicuj pierwszą ( $\phi_1[n]$ ) funkcję bazową dla 16-punktowej DTF (oddzielnie część rzeczywistą i urojoną).
- 3) Naszkicuj ósmą funkcję bazową dla 16-punktowej DTF.
- 4) Oblicz 4-punktową dyskretną transformatę Fouriera (tj. na podstawie 4 próbek sygnału oblicz 4 próbki widmowe):
  - sygnału stałego,
  - sygnału  $(-1)^n$ ,
  - sygnału  $\cos n\pi/2$ . **Wskazówka:** Najpierw narysuj jeden okres sygnału.
- 5) Oblicz iloczyn skalarny zerowej i pierwszej funkcji bazowej dla 8-punktowej DTF.
- 6) Udowodnij, że każde dwie różne funkcje bazowe DTF o danym wymiarze są ortogonalne.
- 7) Przeanalizuj jak zmieni się widmo sygnału gdy:
  - sygnał odwrócimy w czasie ( $x_1(n) = x(-n)$ ),
  - sygnał zmodulujemy sygnałem  $(-1)^n$ ,
  - sygnał przesuniemy w czasie o  $n_0$  próbek.
 Przyjmij, że sygnał należy do klasy  $\ell^2$  (drugi wariant – że jest okresowy o okresie  $N$ ). Dla modulacji i przesunięcia obliczenia przeprowadź na dwa sposoby – najpierw zastosuj znane właściwości przekształcenia Fouriera (zajrzyj do części teoretycznej), a potem spróbuj analizę przeprowadzić bezpośrednio ze wzoru definicyjnego.
- 8) Rozważ następujący sposób przetwarzania sygnałów:
  - obliczamy widmo sygnału  $x[n]$ ,
  - wykonujemy na widmie pewną operację (nazwijmy ją  $\mathcal{Y}$ ),
  - przekształcamy z powrotem widmo do dziedziny czasu, otrzymując sygnał  $x_1[n]$ .

- a) Jaką operację  $\mathcal{Y}$  należy wykonać na widmie obliczonym zgodnie z definicją dla sygnału o ograniczonej energii (zajrzyj do części teoretycznej), aby sygnał  $x_1[n]$  był przesuniętą o 3 próbki kopią sygnału  $x[n]$ ?

**Wskazówka:** Zajrzyj do punktu opisującego właściwości przekształcenia Fouriera.

- b) Jaki sygnał  $x_1[n]$  uzyskamy, gdy równoważną operację wykonamy na widmie obliczonym za pomocą  $N$ -punktowej DTF? Sformułuj warunki (na sygnał i na sposób obliczenia transformaty), jakie trzeba spełnić, aby uzyskać poprawne przesunięcie.
- c) (trudne) Czy za pomocą takiej operacji można przesunąć sygnał o pół odstępu próbkowania?

**Wskazówka:** Rozważ dwie wersje odpowiedzi – przesunięcie samego sygnału dyskretnego oraz przesunięcie chwili próbkowania sygnału dyskretnego względem oryginalnego sygnału analogowego.

9) Ile mnożeń potrzeba, aby obliczyć 8-punktową dyskretną transformatę Fouriera bezpośrednio ze wzoru, a ile za pomocą algorytmu FFT? Jak liczby te wyglądają dla rozmiaru transformaty równego 1024?

10) Nie przyglądając się rysunkowi widm okien (w części teoretycznej), oblicz z definicji jaka powinna być w skali liniowej wysokość głównego prążka widma dla:

- okna prostokątnego,
- okna Bartletta,
- okna Hanna.

## 2.3. Eksperymenty do wykonania w laboratorium

### 2.3.1. Badanie widm rzeczywistych sygnałów dyskretnych

W ramach niniejszego punktu przeanalizowane zostaną widma następujących sygnałów rzeczywistych:

- impulsu prostokątnego

$$x[n] = \begin{cases} 1 & \text{dla } 0 \leq n \leq N - 1 \\ 0 & \text{dla pozostałych } n. \end{cases} \quad (2.1)$$

- impulsu kosinusoidalnego o pulsacji (częstości kołowej) unormowanej  $\theta_0$

$$x[n] = \begin{cases} \cos(\theta_0 \cdot n) & \text{dla } 0 \leq n \leq N - 1 \\ 0 & \text{dla pozostałych } n. \end{cases} \quad (2.2)$$

### 2.3.1.1. Widmo impulsu prostokątnego


W podpunkcie tym zbadamy zmiany widma amplitudowego impulsu prostokątnego (2.1) w zależności od czasu jego trwania  $N$  (zauważ, że czas trwania sygnału<sup>1</sup> jest wyrażony w próbkach).

W tym celu wykorzystana zostanie w Matlabie funkcja `LCPS_unit`. Funkcja ta generuje impulsy prostokątne o podanym czasie trwania, a następnie oblicza ich widmo (zgodnie z definicją widma dyskretnego sygnału o ograniczonej energii, z pewnym uproszczeniem pozwalającym na obliczenie numeryczne<sup>2</sup>). Na koniec funkcja wyświetla wykresy sygnału i modułu jego widma (patrz: `help`).

Przykładowe wywołanie funkcji dla  $N = [5, 10, 15]$  przedstawiono poniżej:

```
N = [5, 10, 15];
```

```
LCPS_unit(N);
```

 Wybierz odpowiedni dla Twojego stanowiska zestaw wartości czasu trwania impulsu prostokątnego  $N$  z tabeli 2.1. **Zanotuj** wybrane wartości  $N$ , a następnie dla każdej wartości  $N$  zanotuj częstotliwość unormowaną, dla której występuje pierwsze miejsce zerowe.

Zanotuj



**Tabela 2.1.** Wartości parametru  $N$  dla różnych stanowisk

Stanowisko	1, 4, 7, 10, 13	2, 5, 8, 11	3, 6, 9, 12
$N$	5, 10, 25	5, 15, 20	10, 15, 25

**Odpowiedz na pytanie:** Jaki jest związek szerokości listka głównego (mierzonej odstępem najbliższych miejsc zerowych widma) z czasem trwania sygnału (określonym liczbą  $N$ ) – podaj zależność.

Odpowiedz



**Wskazówka:** Przypomnij sobie znaleziony analitycznie wzór na widmo impulsu prostokątnego z czasem dyskretnym.

Nie zamykaj okien z wykresami – będą potrzebne do porównania w następnym zadaniu.

### 2.3.1.2. Widmo sygnału kosinusoidalnego

W zadaniu tym zbadamy zmiany widma amplitudowego impulsu kosinusoidalnego (2.2) w zależności od czasu jego trwania  $N$ . W tym celu wykorzystana zostanie procedura w Matlab-ie `LCPS_cos` (patrz: `help`). Eksperyment należy przeprowadzić przy dowolnie ustalonej wartości częstotliwości unormowanej sygnału kosinusoidalnego, np.  $f_0 = 0,2$  ( $\theta_0 = 2\pi f_0$ ).


<sup>1</sup> Mamy tu na myśli czas, w którym sygnał ma niezerową wartość, a nie czas, w którym sygnał w ogólności jest określony.

<sup>2</sup> Uproszczenie to polega na obliczeniu ok. 1000 próbek widma – które, jak wiadomo, jest ciągłą funkcją częstotliwości; dla sygnałów, które badamy w ćwiczeniu, widmo próbkowane wystarczająco dobrze przybliża prawdziwe widmo.

Przykładowe wywołanie funkcji przedstawiono poniżej:

```
f0 = 0.2;
N = ...; \% użyj wartości z tabeli
LCPS_cos(N, f0);
```

Zanotuj  



 W tym eksperymencie użyj tych samych, co poprzednio, trzech wartości czasu trwania sygnału kosinusoidalnego  $N$  z tabeli 2.1. Dla każdej wartości  $N$  **zanotuj** częstotliwość unormowaną dla której występują najbliższe minima wokół listka głównego. **Uwaga:** W zależności od kombinacji  $N$  i  $f_0$  mogą to być miejsca zerowe jak w poprzednim zadaniu, lub tylko zauważalne minima.

Porównaj kształt widma amplitudowego impulsu prostokątnego (z poprzedniego zadania) i kosinusoidalnego dla tej samej długości  $N$ .

Odpowiedz



**Odpowiedz na pytanie:** Czy i jak na podstawie znajomości widma amplitudowego impulsu kosinusoidalnego (2.2) można oszacować czas trwania tego sygnału?

 **Zadanie extra** Powtórz eksperyment dla ustalonego czasu trwania sygnału (np. środkowej z trzech wartości wskazanych w tabeli) i różnych jego częstotliwości unormowanych (np.  $f_0 = 0,05, 0,25$  i  $0,45$ ). W tym celu należy wywołać funkcję `LCPS_cos` w następujący sposób:

```
N = 20;
f0 = [0.05, 0.25, 0.45];
LCPS_cos(N, f0);
```

Odpowiedz



**Odpowiedz na pytanie:** Dlaczego zmiana częstotliwości sygnału, oprócz (oczywistego) przesunięcia widma, powoduje również zmianę kształtu jego listków bocznych?

### 2.3.2. Dyskretna transformata Fouriera sygnału o skończonym czasie trwania

W kolejnych eksperymentach kod Matlabowy zapisywany będzie zgodnie ze zwyczajem, panującym w środowisku sygnałowym, gdzie sygnały oznacza się małymi literami, a ich widma – odpowiadającymi im literami wielkimi.

Do obliczania DTF w Matlabie służy funkcja `fft(x,L)` której parametrami są wektor sygnału oraz rozmiar (długość) transformaty. W tym zadaniu będziemy jednak używali specjalnej procedury<sup>3</sup> `LCPS_dtf(x,L)`, która wyświetla DTF na tle wykresu widma, obliczanego tak jak w funkcjach `LCPS_unit` i `LCPS_cos`.

#### 2.3.2.1. DTF jako spróbkowane widmo sygnału o ograniczonej energii

Dla impulsu prostokątnego  $x[n]$  o czasie trwania  $N = 2 \cdot \text{numerstanowiska}$  oblicz  $L$ -punktową DTF dla  $L = N, 2N, 3N$ .

```
N=...; \%liczba niezerowych próbek w sygnale
```

<sup>3</sup> Oczywiście wewnątrz naszej procedury wywoływana jest funkcja `fft`.

```
x=ones(N,1);
X=LCPS_dtf(x,L); % L - rozmiar transformaty
```

**Uwaga:** Funkcja `LCPS_dtf()` otwiera dwa okna – w jednym wykres widma rysowany jest w skali liniowej, w drugim w logarytmicznej. W skali logarytmicznej nie będą zaznaczone próbki o wartości zero – warto więc odsłonić sobie oba okna.

**Odpowiedz na pytania:**

- W ilu punktach  $\theta_k$  następuje próbkowanie widma  $X(e^{j\theta})$  sygnału  $x[n]$ ?
- Jaka jest odległość w częstotliwości<sup>4</sup> między próbkami widma?

Odpowiedz



**2.3.2.2. Zadanie extra** Okresowe powielenie sygnału wskutek próbkowania widma

Dla sygnału identycznego jak w poprzednim zadaniu (impuls prostokątny o czasie trwania  $N = 8$ ) oblicz  $L$ -punktową DTF, a następnie odtwórz sygnał  $M$ -punktową ODTF. Do odtwarzania użyj procedury<sup>5</sup> `LCPS_odtf(X,M)`. Pierwszym parametrem procedury jest widmo sygnału, natomiast parametr  $M$  powoduje, że sygnał odtworzony jest wyznaczony dla  $0 \leq n \leq M - 1$ , zgodnie ze wzorem  $x_{0p}(n) = \frac{1}{N} \sum_{k=0}^{N-1} X_0(k) e^{j2\pi nk/N}$ , który dla pewnej klasy sygnałów (przypomnij sobie jakiej) jest poprawny także dla  $M \geq L$ .

Wykonaj poniższy eksperyment, powtarzając dwie ostatnie linie kodu dla różnych wartości  $L = 8, 16, 64$ . Dla każdej z tych wartości **zanutuj okres sygnału** odtworzonego z  $L$  próbek widma.

Zanutuj



```
N=8; % czas trwania impulsu
L=... % rozmiar transformaty
x=ones(N,1);
M=128; % liczba odtwarzanych próbek
X=LCPS_dtf(x,L);
xx=LCPS_odtf(X,M);
```

**Uwaga:** Może się zdarzyć wskutek błędów obliczeniowych, że w odtworzonym sygnale pojawi się bardzo niewielka składowa urojona. Należy ją zignorować (a także wynikające z niej ostrzeżenia).

**Odpowiedz na pytania:**

- 1) Jaki warunek muszą spełniać liczby  $N$  (czas trwania sygnału) oraz  $L$  (wymiar DTF), aby sygnał można było poprawnie odtworzyć za pomocą ODTF?

Odpowiedz



<sup>4</sup> Jeżeli nie mamy odniesienia do fizycznego czasu lub rzeczywistego sygnału, a operujemy wyłącznie ma sygnale dyskretnym, to słowo „częstotliwość” używane jest w znaczeniu „częstotliwość unormowana”.

<sup>5</sup> Procedura `LCPS_odtf` wewnętrznie oblicza ODTF ze wzoru definicyjnego, aby móc obliczyć próbki dla  $M \geq L$ ; w zwykłych zastosowaniach najczęściej używa się standardowej funkcji Matlaba `ifft()`.

2) *pytanie extra* Czy sygnał o nieskończonym czasie trwania (np. taki, co do którego wiemy, że należy do klasy  $\ell_2$ , ale nic nie wiemy o liczbie jego niezerowych próbek) można odtworzyć na podstawie znajomości  $L$  próbek jego widma?

**Wskazówka:** Każda próbka transformaty Fouriera jest liniową kombinacją próbek sygnału:  $X(\theta) = \sum_n x(n)e^{-jn\theta}$  W związku z tym odtworzenie sygnału z DTF jest matematycznie równoważne rozwiązaniu pewnego układu równań liniowych. Zastanów się, ile będzie w nim równań, a ile niewiadomych.

### 2.3.3. Dyskretna transformata Fouriera sygnału okresowego

Badany będzie sygnał okresowy:

$$x_p[n] = \cos n\theta_0 \quad -\infty < n < \infty \quad (2.3)$$

o ustalonej pulsacji  $\theta_0 = 2\pi/K$ . Oczywiście do badania pobierzemy skończoną liczbę próbek sygnału – na tym polega DTF. Będziemy więc badać, jak różne aspekty pobierania wycinka sygnału wpływają na obliczane widmo.

#### 2.3.3.1. DTF sygnału uciętego do całkowitej liczby okresów

$\dagger$  Wygeneruj wycinek sygnału (2.3) o okresie  $K = 32$ , zawierający  $N = 64$  próbek. Wyznacz  $N$ -punktową DTF, a następnie  $2 \cdot N$ -punktową ODTF i przeanalizuj otrzymany przebieg czasowy. Korzystaj z następujących procedur<sup>6</sup>:

```
N=64;
K=32;
x=cos((0:N-1)*2*pi/K);
X=LCPS_dtf(x,N);
xx=LCPS_odtf(X,2*N);
```

**Uwaga:** Może się zdarzyć wskutek błędów obliczeniowych, że w odtworzonym sygnale pojawi się bardzo niewielka składowa urojona. Należy ją zignorować (a także wynikające z niej ostrzeżenia Matlab).

Odpowiedz



#### **Odpowiedz na pytania:**

- 1) Czy odtworzony sygnał  $xx$  jest zgodny ze swoim okresowym pierwowzorem (2.3)? Odpowiedź uzasadnij na gruncie analizy widma badanego „wycinka”.
- 2) Jaki jest okres sygnału odtworzonego?
- 3) Jaki jest okres sygnału (2.3)?

Odpowiedz



$\dagger$  Powtórz powyższy eksperyment dla  $N = 128$ . **Odpowiedz na pytanie:** Kiedy sygnał okresowy można odtworzyć bez zniekształceń na podstawie znajomości DTF skończonego fragmentu tego sygnału? Jaki parametr sygnału musi być znany?

<sup>6</sup> Niestandardowa funkcja `LCPS_odtf(X,L)` oblicza  $L$  punktów w dziedzinie czasu; standardowa funkcja Matlab `ifft(X,LX)` uzupełnia zerami *widmo* do długości  $LX$ , co w naszym eksperymencie nie na sensu.



### 2.3.3.2. DTF sygnału uciętego do niecałkowitej liczby okresów

⚡ Powtórz poprzedni eksperyment dla innej pulsacji sygnału (2.3), przyjmując  $K$  równe  $40 - 2 \cdot N_s$ , gdzie  $N_s$  to numer Twojego stanowiska, oraz  $N = 64$ .

**Odpowiedz na pytania:**

- 1) Jaki jest teraz okres sygnału  $x[n]$ ?
- 2) Jaki jest okres sygnału odtworzonego z  $N$  próbek widma?
- 3) Dlaczego sygnał jest zniekształcony? Porównaj DTF otrzymaną w tym eksperymencie z DTF otrzymaną w poprzednim eksperymencie.
- 4) Jakie metody znane Ci z wykładu można zastosować, aby zmniejszyć zniekształcenia widma wynikające ze skończonego czasu obserwacji?

Odpowiedz



⚡ **Zadanie extra** Wykonaj to samo dla  $N = 128$  i porównaj wyniki.

### 2.3.3.3. **Zadanie extra** DTF z uzupełnieniem sygnału zerami (zero-padding)

*Zadanie w wersji z symulacją w Matlabie jest zadaniem dodatkowym. Obowiązkowa jest wersja wykonywana na sygnale rzeczywistym za pomocą LabView (2.3.3.4).*

Spróbujemy zwiększyć rozdzielczość DTF w częstotliwości poprzez uzupełnienie zaobserwowanego fragmentu sygnału  $x$  zerami do długości  $L$ . W Matlabie w tym celu wystarczy użyć funkcji standardowej `fft(x,L)` – w tym zadaniu jednak użyjemy procedury `LCPS_dtfzp(x,L)`, która po obliczeniu `fft` tworzy wykres widma. Procedura ta działa podobnie do `LCPS_dtf`, lecz wizualizuje widmo w sposób lepiej dostosowany do niniejszych eksperymentów – łączy linią próbki DTF.

⚡ Usun pootwierane okna wykresów.

⚡ Wygeneruj całkowitą liczbę okresów sygnału okresowego (użyj parametrów z zadania 2.3.3.1). Oblicz i wyświetl widmo:

- bez uzupełnienia zerami,
- z uzupełnieniem zerami do  $2 \cdot N$  oraz  $3 \cdot N$  próbek.

**Naszkicuj fragment widma** dla  $L = 3N$  tak, aby pokazać listek główny i największe listki boczne.

**Dla trzech długości transformaty zanotuj** poziom najwyższych listków bocznych (w dB względem listka głównego).

⚡ Wygeneruj sygnał ucięty do niecałkowitej liczby okresów (jak w zadaniu 2.3.3.2). Dla takiego sygnału również wyświetl widma dla  $L = N, 2N, 3N$  próbek.

Porównaj wyniki dla powyższych sześciu przypadków, zajrzyj też do kolegów (każdy wybierał inny okres sygnału uciętego).

**Odpowiedz na pytanie:** W jakich przypadkach uzupełnienie zerami poprawiło szanse „trafienia” w maksimum widma, a w jakich tylko spowodowało zaciemnienie rysunku?

Naszkicuj

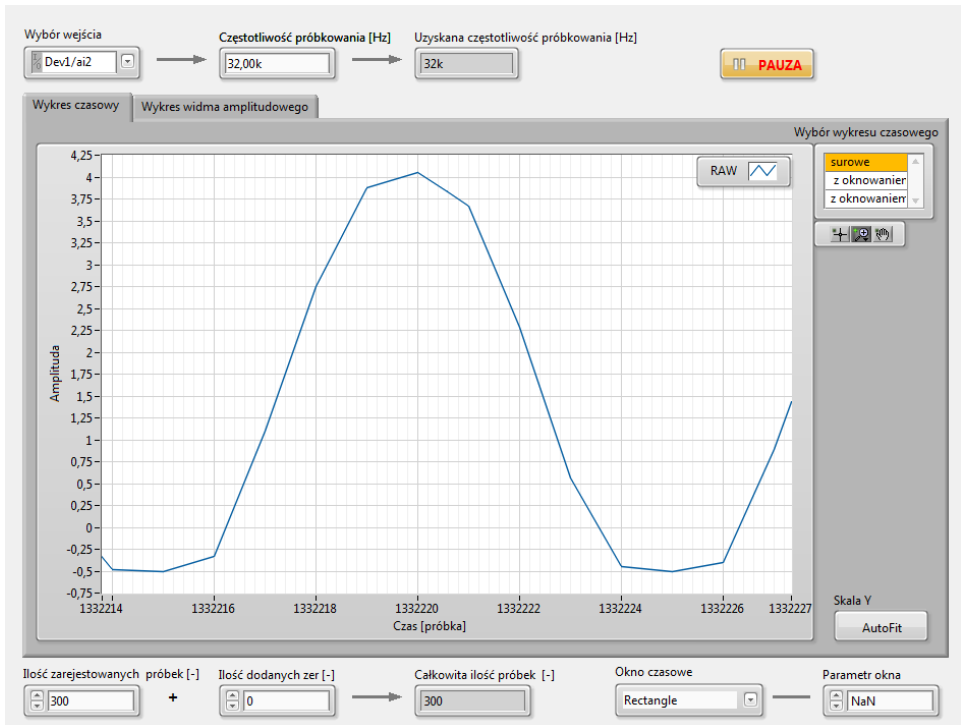


Zanotuj



Odpowiedz





Rysunek 2.1. Panel czołowy analizatora widma

### 2.3.3.4. DTF rzeczywistego sygnału okresowego

Zbadaj w praktyce, jak dobór długości transformaty i uzupełnianie zerami wpływają na widmo; do eksperymentów użyj generatora sygnału analogowego oraz analizatora widma sygnału zbudowanego na bazie LabView. W tym celu:

☞ Sygnał z generatora uniwersalnego podłącz do wejścia AI2 panelu NI i do oscyloskopu.

☞ Za pomocą skrót (na pulpicie) uruchom spectrum analyzer. Panel czołowy analizatora pokazano na rys. 2.1.

Przed uruchomieniem przyrządu ustaw parametry:

Wybór wejścia – Dev1/ai2; jest to numer kanału wejściowego (zakładamy, że sygnał jest podłączony do wejścia AI2),

częstotliwość próbkowania – 32 kHz.

☞ Uruchom przyrząd wirtualny (przyciskiem ze strzałką).

☞ Sprawdź, czy sygnał widoczny na ekranie nie wykazuje oznak przekraczania dopuszczalnej amplitudy dla przetwornika; w razie potrzeby ustaw amplitudę na generatorze.

☞ Wybierz okno czasowe typu „rectangle” – parametr okna nie jest wtedy istotny.

- †† Zmieniaj częstotliwość sygnału i liczbę dodanych zer (ewentualnie także liczbę próbek) aby uzyskać:
  - Możliwie czytelne widmo sygnału bez uzupełnienia zerami („liczba dodanych zer”=0).
  - Widmo tego samego sygnału po uzupełnieniu zerami do podwójnej i potrójnej długości.

**Dla kilku (np. trzech) wybranych przypadków zanotuj** parametry sygnału (częstotliwość, liczba zebranych próbek) i ustawienia DTF. Oblicz i zanotuj okres sygnału. Krótko opisz widoczne na widmie efekty.

Zanotuj 

### 2.3.4. Widmo sygnału opóźnionego

Celem eksperymentu jest analiza widma sygnału opóźnionego  $x[n - d]$  i porównanie go z widmem sygnału  $x[n]$ , gdzie  $d$  jest ustaloną liczbą naturalną (opóźnieniem). Porównanie obu widm należy dokonać za pomocą procedury LCPS\_del, która opóźnia podany sygnał o podaną liczbę próbek i rysuje wykresy pozwalające porównać widma.

- †† Zamknij zbędne wykresy: `close all`.
- †† Wygeneruj sygnał stały o skończonym czasie trwania  $N = 5$  i za pomocą procedury LCPS\_del porównaj widmo tego sygnału z widmem jego kopii opóźnionej o  $d$  próbek, gdzie  $d$  jest równe numerowi Twojego stanowiska.

```
N = 5;
x=ones(N,1);
d=...;
LCPS_del(x,d);
```

- †† Zaobserwuj widma fazowe obu sygnałów. Wyznacz z przebiegu wyświetlanego na ekranie nachylenie charakterystyki fazowej sygnału opóźnionego i powiąż je z opóźnieniem. **Zanotuj** odczytane z wykresu wartości, sposób obliczenia i wyniki.

**Wskazówka:** Wyznacz najpierw nachylenie fazy sygnału oryginalnego i uznaj je za stan początkowy. Nachylenie warto mierzyć na odcinku, na którym nie występuje gwałtowna zmiana fazy. Przypomnij sobie teoretyczny wzór na widmo sygnału przesuniętego w czasie o  $n_0$ .

Zanotuj 

### 2.3.5. Zastosowanie okien czasowych

#### 2.3.5.1. Właściwości okien

- †† Zaobserwuj przebieg czasowy wybranych typów okien i ich widma amplitudowe. Wykorzystaj gotowe narzędzie Matlaba „Window Design & Analysis Tool” – uruchom je poleceniem `window`.  
W protokole umieść tabelę według poniższego wzoru:

Typ okna	Szerokość listka gł.	Pierwszy listek boczny	Najwyższy listek boczny	Zmiana listków z $f$
	(częstotliwość unorm.)	(dB poniżej gł.)	(dB poniżej gł.)	opisz w skrócie

Zanotuj



W tabeli **zanotuj** właściwości okien:

- prostokątnego,
- Bartletta,
- Hamminga,
- Kaisera z parametrem  $\beta$  równym 5 oraz 8.

Szerokość listka głównego określ jednostronnie – poprzez odległość pierwszego miejsca zerowego widma od  $f = 0$ .

Odpowiedz



**Odpowiedz na pytanie:** Czym różnią się poszczególne typy okien? Spróbuj sformułować jakościowo prawidłowość wiążącą szerokość listka głównego i wysokość listków bocznych.

### 2.3.5.2. Zastosowanie okien w analizie widmowej

- †<sup>†</sup> Wykonaj jeszcze raz eksperyment z punktu 2.3.3, tzn. obliczanie widma sygnału okresowego z zastosowaniem okna prostokątnego, nadal przyjmując  $K$  równe  $40 - 2 \cdot N_s$ , gdzie  $N_s$  to numer Twojego stanowiska:

```
x=cos((0:63)*2*pi/K);
X=LCPS_dtf(x,64); % Wycinek sygnału o długości 64 próbki
xx=LCPS_odtf(X,128); % Odtworzenie 128 próbek
```

i zaobserwuj efekt rozerwania sygnału – w przedziale obserwacji nie mieści się całkowita liczba okresów sygnału. Zauważ, że widmo jest zniekształcone – nie jest pojedynczym prążkiem.

- †<sup>†</sup> Pomnóż sygnał  $x[n]$  przez okno Kaisera  $g[n]$  i powtórz powyższy eksperyment dla sygnału  $y[n] = x[n]g[n]$ .

```
y=kaiser(64,6).*x';
Y=LCPS_dtf(y,64);
yy=LCPS_odtf(Y,128);
```

Zaobserwuj i porównaj widma sygnałów dla okna prostokątnego ( $X$ ) i okna Kaisera ( $Y$ ). Oblicz (w dB) różnice w poziomie listków bocznych widma względem maksimum listka głównego. **Odpowiedz na pytanie:** O ile dB zmniejszył się poziom listków bocznych widma i dlaczego? Zauważ, że w sygnale odtworzonym z próbek widma (z zastosowaniem okna Kaisera) nie wystąpiła „nieciągłość”.

Odpowiedz



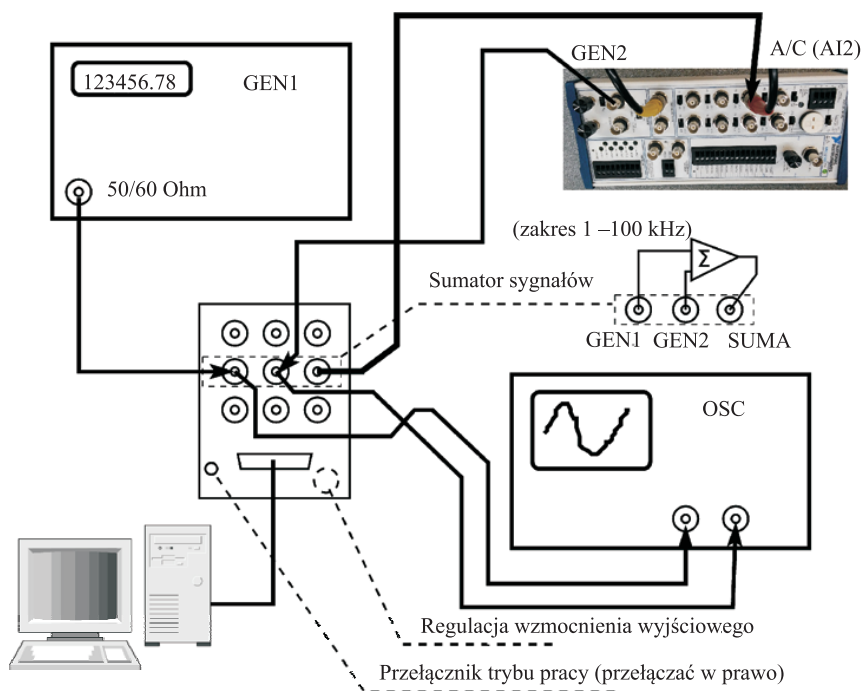
### 2.3.5.3. Rozdzielczość widmowa – badania z wykorzystaniem sygnałów rzeczywistych

W tym podpunkcie zbadamy zastosowanie okien w analizie widmowej i ich rozdzielczość widmową z wykorzystaniem rzeczywistych sygnałów zarejestrowanych

kartą akwizycji NI. Analizować będziemy sygnał będący złożeniem dwóch sygnałów kosinusoidalnych o różnych częstotliwościach.

Wyjścia dwóch niezależnych generatorów podamy na sumator sygnałów analogowych (w kasecie laboratoryjnej). Wykorzystamy generator uniwersalny oraz moduł generatora w panelu laboratoryjnym National Instruments BNC-2120. Wyjście WY sumatora podłączymy do wejścia akwizycji danych w panelu.

⚡ Połącz układ pomiarowy zgodnie z rysunkiem 2.2. **Uwaga:** Wzmacniacz w kasecie laboratoryjnej pracuje w trybie sumatora gdy przełącznik w dolnym lewym rogu modułu jest ustawiony w prawej skrajnej pozycji.



**Rysunek 2.2.** Schemat połączenia aparatury: analiza sumy dwóch sygnałów

⚡ Ustaw generator nr 1 tak, aby otrzymać sygnał sinusoidalny o amplitudzie  $A = 5\text{ V}$  i częstotliwości unormowanej  $f_{1n} \approx 0,4$  po jego spróbkowaniu z częstotliwością próbkowania  $f_s = 48\text{ kHz}$ . Ustaw generator nr 2 tak, aby otrzymać sygnał sinusoidalny o amplitudzie  $A = 5\text{ V}$  i częstotliwości unormowanej bliskiej częstotliwości generatora nr 1, np:  $f_{2n} \approx 0,405$ . Do weryfikacji ustawień generatorów wykorzystaj oscyloskop. **Zanotuj wybrane częstotliwości (unormowane i rzeczywiste).**

⚡ Z folderu LCPSVIs (na pulpicie) uruchom spectrum analyzer.

Ustaw parametry:

Wybór wejścia

- Dev1/ai2; jest to numer kanału wejściowego (zakładamy, że sygnał jest podłączony do wejścia

AI2),

częstotliwość próbkowania – 48 kHz.

- ✚✚ Sprawdź, czy sygnał widoczny na ekranie nie wykazuje oznak przekraczania dopuszczalnej amplitudy dla przetwornika; w razie potrzeby ustaw amplitudę na generatorze.
- ✚✚ Wybierz odpowiednią liczbę próbek (np. 32) – liczba ta jest jednocześnie długością okna.
- ✚✚ Zmieniaj wybraną liczbę próbek (przy oknie prostokątnym, bez uzupełniania zerami) i zbadaj, przy jakiej długości okna daje się rozróżnić na widmie obie składowe. **Zanotuj tę długość.**
- ✚✚ Eksperyment powtórz dla różnych rodzajów okien i dla różnej liczby zer dodanych do analizowego sygnału, za każdym razem notując potrzebną długość okna. **Odpowiedz na pytanie:** Dla którego z okien można najlepiej rozróżnić składowe widma o bliskich częstotliwościach? Jak dodawanie zer wpływa na możliwość takiego rozróżnienia?

Zanotuj



Odpowiedz



#### 2.3.5.4. Rozróżnianie sygnałów o znacząco różnych mocach

- ✚✚ Utwórz sumę sygnałów o różnych amplitudach i częstotliwościach za pomocą sumatora. Używając przyrządu wirtualnego spectrum analyzer obserwuj widmo sygnału sumacyjnego obliczone z zastosowaniem okna prostokątnego. Ustaw na generatorze 2 sygnał o małej amplitudzie i znacząco różniącej się częstotliwości – tak aby jego sygnał zginął w listkach bocznych widma sygnału z generatora 1.

Zanotuj

**Zanotuj ustawione parametry sygnałów.**

- ✚✚ Teraz dobierz okno, które pozwala najlepiej wyróżnić składową widma o małej amplitudzie pochodzącą z generatora nr 2.

Zanotuj

**Zanotuj** rodzaj wybranego okna i pokaż uzyskany rezultat prowadzącemu.

#### 2.3.5.5. Zadanie extra Rozdzielczość widmowa – badania symulacyjne

- ✚✚ Wygeneruj sygnał o długości  $N = 32$  będący superpozycją trzech kosinusoid o częstotliwościach  $f_1 = 0,23$ ,  $f_2 = 0,26$ ,  $f_3 = 0,38$  i amplitudach odpowiednio  $A_1 = 1$ ,  $A_2 = 0,9$  i  $A_3 = 0,07$

$$N=32;$$

$$A=[1, 0.9, 0.07];$$

$$f=[0.23, 0.26, 0.38];$$

$$[x, y]=LCPS\_gencos(N, A, f);$$

- ✚✚ Dla tego sygnału obejrzyj 256-punktową DTF, a następnie wymnóż ten sygnał przez okno Hamminga i również wyznacz 256-punktową DTF.

$$LCPS\_dtf(y, 256);$$

$$z=y.*hamming(32);$$

$$LCPS\_dtf(z, 256);$$

**Odpowiedz na pytanie:** Jakie efekty zastosowania okna ułatwiają, a jakie utrudniają rozróżnienie w przypadku sygnałów położonych blisko siebie w częstotliwości; jak to wygląda w przypadku sygnałów o bardzo różnych amplitudach? Które okna będą „dobre” w jednym, a które w drugim przypadku?

Odpowiedz



### 2.3.5.6. **Zadanie extra** Efekty uzupełniania zerami – eksperymenty z sygnałem symulowanym

Efekty te pokażemy na przykładzie następującego sygnału:

$$y[n] = A_1 \cos n\theta_1 + A_2 \cos n\theta_2, \quad 0 \leq n \leq N - 1 \quad (2.4)$$

o długości  $N$ , będącego sumą dwóch składowych kosinusoidalnych. Na ekranie obserwować będziemy moduł  $L$ -punktowej DTF obliczonej dla różnych wartości  $L$  ( $L = 16, 32, 64, 512$ ) przy stałej liczbie próbek  $N = 16$  sygnału o postaci (2.4). Jeśli  $L > N$ , to przetwarzany blok danych musi zostać uzupełniony zerami do długości  $L$ , co dzieje się automatycznie w funkcji LCPS\_dtfzp.

Funkcja LCPS\_dtfzp działa podobnie do LCPS\_dtf, lecz wizualizuje widmo w sposób lepiej dostosowany do niniejszych eksperymentów – łączy linią próbki DTF.

Rozpocznij od eksperymentu z tylko jedną składową. Wyłącz drugą składową ustawiając amplitudę  $A_2 = 0$ , i dowolną wartość  $\theta_2$  (np.  $0.215 \cdot 2\pi$ ). Dla pierwszej składowej sygnału załóż  $A_1 = 1$ ,  $\theta_1 = 0.1375 \cdot 2\pi$ ,  $N = 16$  i oblicz  $L$ -punktową DTF.

Sygnał (2.4) o zadanych parametrach otrzymaj za pomocą procedury LCPS\_gencos (patrz help), natomiast DTF wyznacz za pomocą procedury LCPS\_dtfzp. W tym celu należy wykonać następującą sekwencję instrukcji:

```
N=16;
L=...% wstaw wybrane wartości
A=[1,0]; % wektor amplitud
f=[0.1375,0.215]; % wektor częstotliwości
[x,y]=LCPS_gencos(N,A,f);
LCPS_dtfzp(y,L);
```

dla  $L = 16, 32, 64, 512$  (przypominamy, że w procedurze tej wektor sygnału ma wymiar  $L$  – blok danych jest automatycznie uzupełniany zerami). Zaobserwuj zmniejszenie odległości między próbkami widma ze wzrostem  $L$  i **zanotuj** maksymalny poziom listków bocznych widma (zauważ, że ucięcie sygnału jak w (2.4) równoważne jest matematycznie zastosowaniu okna prostokątnego).

Zanotuj



Powtórz powyższy eksperyment włączając obie składowe sygnału, tj. dla  $A_2 = 0.225$ ,  $\theta_2 = 0.215 \cdot 2\pi$ , przy pozostałych parametrach takich samych jak poprzednio.

**Odpowiedz na pytanie:** Czy na wykresie widma obliczonego poprzez DFT dla  $L = 16$  można zauważyć, że sygnał zawiera dwie składowe kosinusoidalne? Czy zwiększenie  $L$  „zwiększa szanse” na wykrycie „małej” składowej?

Odpowiedz



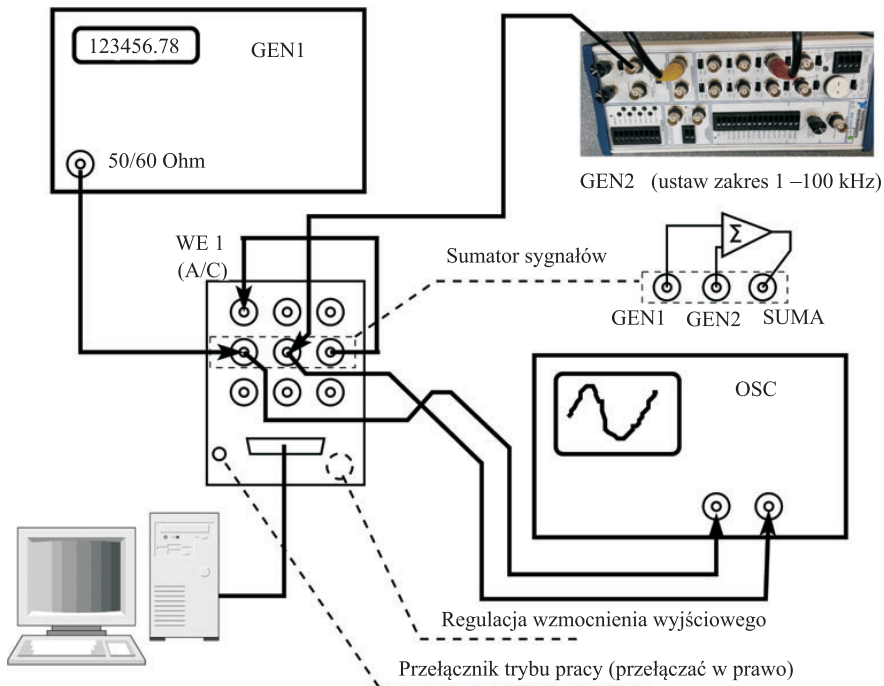


**Zanotuj**, jaka jest (subiektywnie) graniczna wartość  $L$ , przy której widać obecność słabej składowej.

### 2.3.6. Miniprojekt – rozróżnialność widmowa (ciuciubabka)

Niniejsze zadanie (ciuciubabka<sup>7</sup>) wymaga interakcji między studentami. Na każdym stanowisku należy poprosić sąsiada (w razie niemożności – można poprosić prowadzącego) o przygotowanie sygnału badanego w tajemnicy przed nami. Następnie, nie znając parametrów przygotowanego przez sąsiada sygnału, należy usiłować oszacować te parametry.

Wykorzystamy układ z dwoma generatorami i sumatorem (jak w p. 2.3.5.3), lecz wyjście WY sumatora podłączymy w kasecie do przetwornika A/C (WE1) w celu rejestracji próbek sygnału i ich wczytania do środowiska MATLAB.



**Rysunek 2.3.** Schemat połączenia aparatury: miniprojekt – ciuciubabka

⚡ Połącz układ pomiarowy umożliwiający zarejestrowanie sygnału dla Matlaba – zgodnie z rysunkiem 2.3. **Uwaga:** Wzmacniacz w kasecie laboratoryjnej pracuje w trybie sumatora gdy przełącznik w dolnym lewym rogu modułu jest ustawiony w prawej skrajnej pozycji.

<sup>7</sup> Kto nie zna tej zabawy – ciuciubabka polega na tym, że jeden zawodnik (zwany „ciuciubabką”) ma zawiązane oczy i szuka pozostałych zawodników, kierując się niepełną informacją, tj. wyłącznie słuchem.



**Następne punkty wykonuje na Twoim stanowisku sąsiad – *ustawiacz*. Ty zapewne pełnisz rolę *ustawiacza* na jego stanowisku, a na swoim jesteś *badaczem*.**

- †† Wybierz częstotliwość próbkowania oraz częstotliwości i amplitudy dwóch sygnałów sinusoidalnych, które – po zsumowaniu – będzie musiał rozróżnić *badacz*. Sprawdź wartości oscyloskopem i zanotuj w miejscu niedostępnym dla *badacza* (np. w swoim sprawozdaniu). *Badaczowi* ujawnij tylko częstotliwość próbkowania.
- †† Zastanów się, ile próbek należy zarejestrować, aby wykonanie zadania przez *badacza* było w ogóle możliwe. Daj *badaczowi* fory – zarejestruj co najmniej  $2 \times$  tyle próbek, wykonując polecenia Matlaba:

```
fs=48000; % częstotliwość próbkowania
Ts=1/fs; % okres próbkowania
N=...; % liczba rejestrowanych próbek
xg=LCPS_getdata(N,1,Ts);
figure; plot(xg);title('Rzeczywisty sygnał')
```

Sprawdź, czy sygnał zarejestrowany wygląda *rozsądnie*.

- †† Nie rozłączaj stanowiska i nie zmieniaj nastaw, ale zadbaj, aby ustawienia nie były widoczne (wyłącz oscyloskop, przełącz częstotściomierz na inne wejście).  
**Odtąd *badacz* powraca do komputera.**
- †† Analizując pozostawiony przez sąsiada sygnał *xg* spróbuj odtworzyć jakie były parametry sygnałów. Zgodnie z umową wiesz, że w nagraniu są dwie sinusoidy i znasz częstotliwość próbkowania.

### Spory

Ewentualne spory co do „podłożonej świni<sup>8</sup>” rozsądza prowadzący. Jedną z możliwości jest poproszenie *ustawiacza*, żeby udowodnił, iż zadanie jest rozwiązywalne. Inną – zarejestrowanie większej liczby próbek (ustawienia miały się nie zmienić) i drugie podejście.

---

<sup>8</sup> Podobno „podłożyć świnię” jest rusycyzmem – rzeczywiście po rosyjsku można znaleźć mnóstwo hipotez na temat pochodzenia tego wyrażenia, a po polsku Google nic mądrego nie zwraca.